

大阪大学 正員 小松定夫
熊本大学 正員 ○崎元達郎

1)まえがき；先に、著者らは、機械加工によるHT-80鋼管が、圧縮とねじりの組み合せ荷重を受ける場合について、実験を行ない、von Misesの降伏条件が、比較的良く合うことと、塑性ひずみが、降伏曲線に直交する方向に増大すること等を確かめた。¹⁾ 今回は、溶接集成した正方形箱型断面について、同様の実験を行ない特に、溶接残留応力のねじり拳動に及ぼす影響について考察した。

2)供試体；材質は、NANKO-HT-80 ($C=0.12\%$, $C_{eq}=0.51\%$) であり、図-1に寸法形状の概略を示す。供試体の断面諸元を表-1に、母材の材料試験結果を表-2に示す。四隅の溶接は、図-1(b)に示すように行ない(24V., 155A.)、溶接による残留応力を、機械的切断法により、コンタクトゲージで測定した。圧縮残留応力は、最大で0.25φ, 平均0.17φであった。測定値の分布形を、図-2に示している。

3)実験；載荷装置、測定方法については、当日、スライドにて説明する。

5体の供試体について、表-3に示す載荷経路について行なった。実験結果の一例を図-4, 5, 6に示す。図中、 σ , ϵ , τ , γ はすべて断面について平均した応力かひずみである。図-5の γ はねじり率、図-6の G_{eq} は、T-9曲線の勾配として求めた有効せん断係数とも言べき係数である。

4)解析；文献2)の手法にならって、塑性増分理論とvon Misesの降伏条件を仮定して解析する。薄肉部材として取り扱えるとし、断面を一周するせん断流が存在すると考える。まず、残留応力分布を、図-3のように仮定すると、 $(\sigma_A + \sigma_{rc})^2 + 3(\frac{\tau}{2bt})^2 \geq \sigma_y^2$ の時、各辺の中央部に巾Cの降伏域を生じる。

$$C = b - \sqrt{\frac{(b-a)(4bt\sigma_y - P)}{2(\sigma_{rc} + \sigma_{rt})t}} \quad \text{ここで } \sigma_y = \sqrt{\sigma_y^2 - 3C^2}$$

又、平均ひずみ $\bar{\epsilon}$ は、 $\bar{\epsilon} = \frac{1}{E} \{ \sqrt{\sigma_y^2 - 3C^2} - \sigma_y (\%) \}$ と表わせる。一方、塑性域の応力-ひずみ関係は、

$$\frac{d\sigma - d\sigma/G}{d\bar{\epsilon} - d\sigma/E} = \frac{3C}{\sigma_y} \quad \text{で与えられる。} \quad d\epsilon(x) = d\bar{\epsilon} \quad \text{として。}$$

$$\frac{d\sigma}{d\bar{\epsilon}} = \frac{1}{G} \frac{d\sigma}{d\bar{\epsilon}} + \frac{3C}{\sigma_y} - \frac{1}{E} \frac{3C}{\sigma_y} \frac{d\sigma}{d\bar{\epsilon}} \quad \text{となる。}$$

ここで、 $E = 2(1+\nu)G$, $d\sigma = -\frac{3C}{\sigma_y} d\bar{\epsilon}$, $\sigma_y = \sqrt{3}k$ とすると次式を得る。

$$\frac{d\sigma}{d\bar{\epsilon}} = \left\{ 1 + \frac{1}{2(1+\nu)k^2} \right\} \frac{1}{G} \frac{d\sigma}{d\bar{\epsilon}} + \frac{3}{2(1+\nu)G} \frac{\tau}{\sqrt{3}k}$$

一方、薄肉理論より、モリウ、扇形面積 ω 、断面-周座標 S として、 $\gamma = \frac{\partial \omega}{\partial S} + 2 \frac{\partial (\theta/\beta)}{\partial S}$

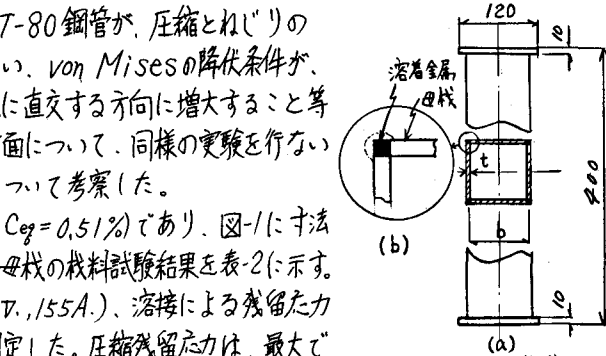


図-1 供試体

表-1 供試体断面諸元

諸元	巾 b (mm)	厚さ t (mm)	断面積 A (cm ²)	$2bt$ (cm ³)
HB-1	66.32	3.58	9.50	31.49
HB-2	66.10	3.50	9.27	30.64
HB-3	66.15	3.55	9.40	31.09
HB-4	66.24	3.56	9.40	31.19
HB-5	66.21	3.59	9.13	31.95

表-2 梁料試験結果

降伏応力 σ_y	引張強度 σ_u	降伏ひずみ ϵ_y	ひずみ硬化 開始ひずみ	伸び 開始ひずみ	ヤング係数 E	せん断弾性 係数 G
7980 (kg/cm ²)	8492 (kg/cm ²)	4040 (x10 ⁻⁴)	17,200 (x10 ⁻⁶)	19.8 (%)	2.03 (x10 ⁶ kg/cm ²)	0.78 (x10 ⁶ kg/cm ²)

表-3 載荷経路

HB-1	$\sigma = 0.83 \sigma_y$ なる一定圧縮(における漸増ねじり)
HB-2	$\tau = 0.26 \sigma_y$ なる比例負荷
HB-3	$\sigma = 0.69 \sigma_y$ なる一定圧縮における漸増ねじり
HB-4	$\tau = 0.46 \sigma_y$ なる比例負荷
HB-5	単純ねじり

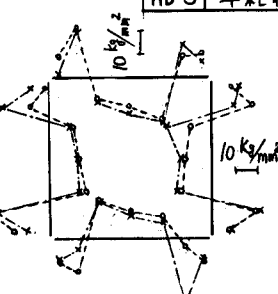


図-2 残留応力分布

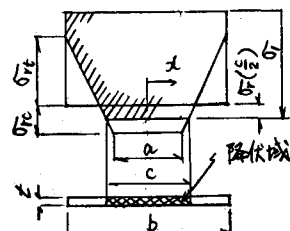


図-3 解析上のモデル化

上記の二式より、降伏域 $|x| \leq \frac{1}{2}$ で次式が成立する。

$$\frac{\partial}{\partial S} \left(\frac{\partial w}{\partial \xi} \right) + 2 \frac{dF_s}{dS} \frac{d\theta}{d\xi} = \left\{ 1 + \frac{1}{2(1+\nu)} \frac{3\tau^2}{k^2 - \tau^2} \right\} \frac{1}{G} \frac{d\tau}{d\xi} + \frac{1}{2(1+\nu)} G \frac{3}{3(k^2 - \tau^2)}$$

一方、弾性域 $\frac{1}{2} \leq |x| \leq \frac{1}{2}$ では、 $d\tau = G \cdot d\delta$ が成りたつから

$$\frac{\partial}{\partial S} \left(\frac{\partial w}{\partial \xi} \right) + 2 \frac{dF_s}{dS} \frac{d\theta}{d\xi} = \frac{1}{G} \frac{d\tau}{d\xi} \quad \text{となる。}$$

上の二式を全周にわたって積分し、そりの連続条件とて
 $\int \frac{\partial}{\partial S} \left(\frac{\partial w}{\partial \xi} \right) dS = 0$ を考慮して整理すると 次式を得る。

$$\frac{d\theta}{d\xi} = \frac{\rho}{2FG} \frac{d\tau}{d\xi} + \frac{\rho}{2F} \left[\frac{3\tau^2}{2(1+\nu)(k^2 - \tau^2)} \frac{1}{G} \frac{d\tau}{d\xi} + \frac{3\tau}{2(1+\nu)G} \frac{3}{3(k^2 - \tau^2)} \right] \int dS$$

ここに、 ρ は全周長、 $\int dS$ は、降伏域における積分である。
 上式を、与えられた載荷経路について積分すれば変形が求まる。
 本実験の場合について行なった数値計算結果を、図-4、
 5, 6 に破線で示し、実験値と比較している。

5) 考察: 図-4では、残留応力等の影響により、早くから塑性ひずみが生じるのが解るが、全断面が降伏に近づくと塑性ひずみ増分は、理論値で予測する降伏曲線に直交する(放射)方向に生じる。図-5, 6 では、二種の載荷経路に対応して、ねじり剛度の変化に異った二つの傾向が現れることが解り、理論値は、これを比較的良く説明している。図-7 の斜線部は、引張試験のバラツキによる降伏曲線の中であり、実験結果は、von Mises の降伏条件によく合っている。HB-4 は、最終状態でひずみの反転を確認しているので、座屈したものと見えうれ。

供試体の製作にあたって、阪神高速道路公団と K.K. 日立造船所の協力を得たことを記して謝意を表します。
 本研究の一部は、福岡一男君(京都市役所)が、大阪大学で行つた卒業研究である。

1) 小松・崎元; 土木学会関西支部年次学術講演会概要 I-22 昭和48年6月

2) Hill & Siebel; 「On Combined Bending and Twisting of Thin Tubes in the Plastic Range」 Phil. Mag. 42, 1951

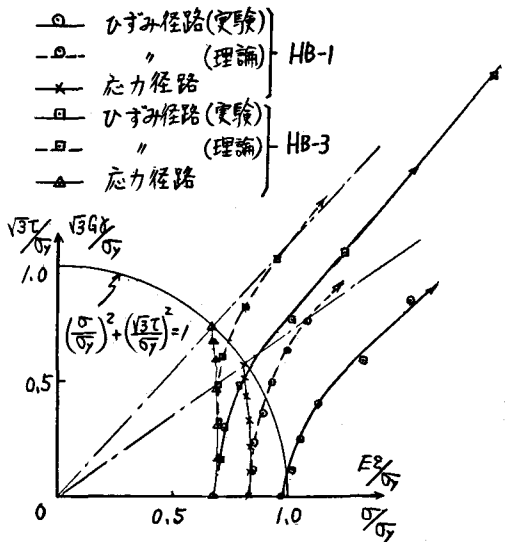


図-4 平均応力と平均ひずみの変化

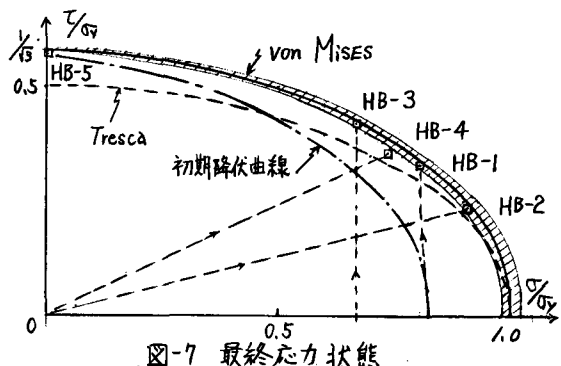


図-7 最終応力状態

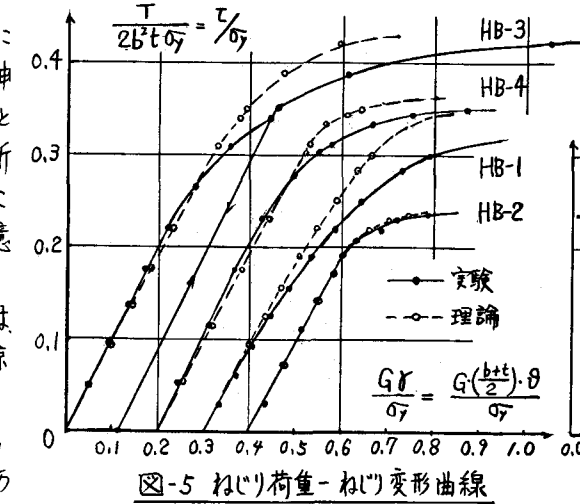


図-5 ねじり荷重-ねじり変形曲線

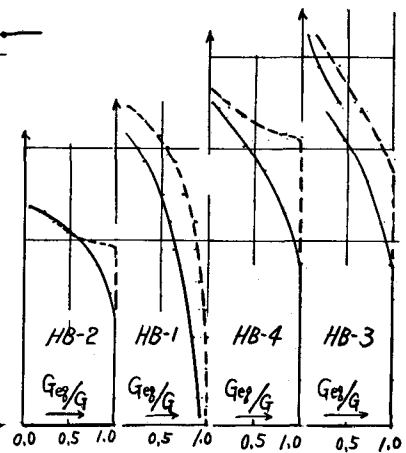


図-6 有効せん断係数